

平行電磁場中のカイラリティ生成の動的な増幅

田屋 英俊

慶應(自然セ)

[HT](#), Phys. Rev. Research 2, 023257 (2020) [arXiv:2003.08948]

言いたいこと

- ✓ 平行電磁場 $E \cdot B \neq 0$ の下では、カイラリティ Q_5 が真空から生成
 - 電場による粒子生成(Schwinger機構)と磁場によるスピン偏極(ランダウ量子化)との結果
- ✓ 素朴には、massive粒子のカイラリティ Q_5 生成はほとんどゼロ
 - $E = \text{const.}$ ならば、Schwinger機構による粒子生成は $\exp(-\pi m^2 / eE)$ で強く抑制
- ✓ $E = \text{const.}$ に、早い摂動(弱くて良い。例えば(ミニ)ジェット) を加えると、
massive粒子のカイラリティ Q_5 生成は 大きく増大

導入



理論



結果

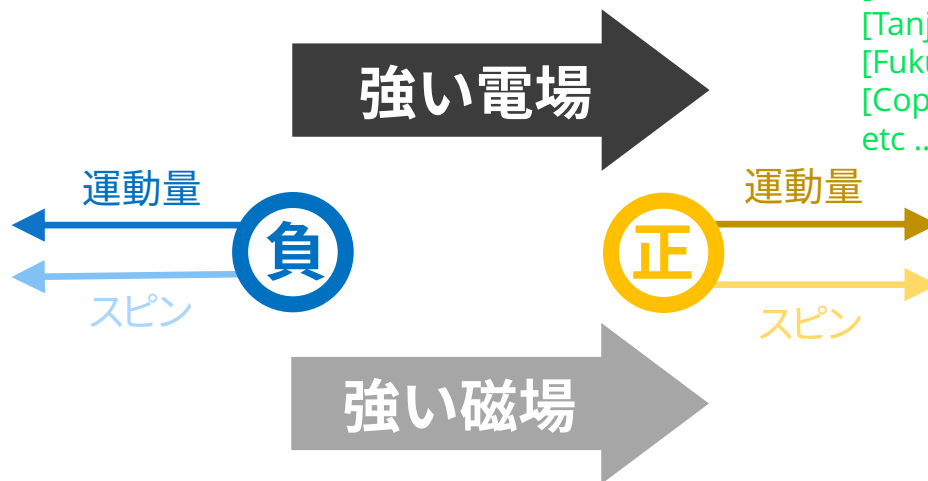


まとめ

カイラリティ生成

✓ 平行電磁場 $E \cdot B \neq 0$ の下では、カイラリティが真空から生成

- 電場による粒子生成(Schwinger機構)と磁場によるスピン偏極(ランダウ量子化)との結果



[Nielsen, Ninomiya (1983)]

[Tanji (2010)]

[Fukushima, Kharzeev, Warringa (2010)]

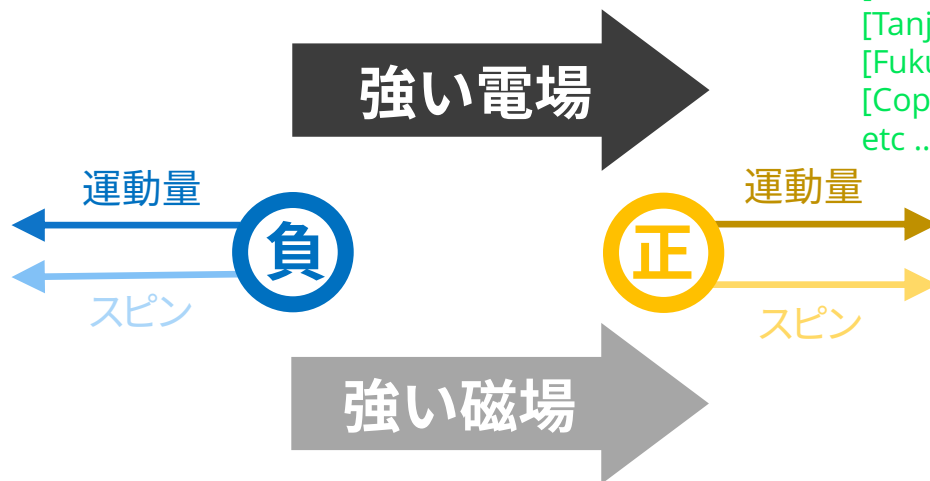
[Copinger, Gukushima, Pu (2018)]

etc ...

カイラリティ生成

✓ 平行電磁場 $E \cdot B \neq 0$ の下では、カイラリティが真空から生成

・ 電場による粒子生成(Schwinger機構)と磁場によるスピン偏極(ランダウ量子化)との結果



[Nielsen, Ninomiya (1983)]

[Tanji (2010)]

[Fukushima, Kharzeev, Warringa (2010)]

[Copinger, Gukushima, Pu (2018)]

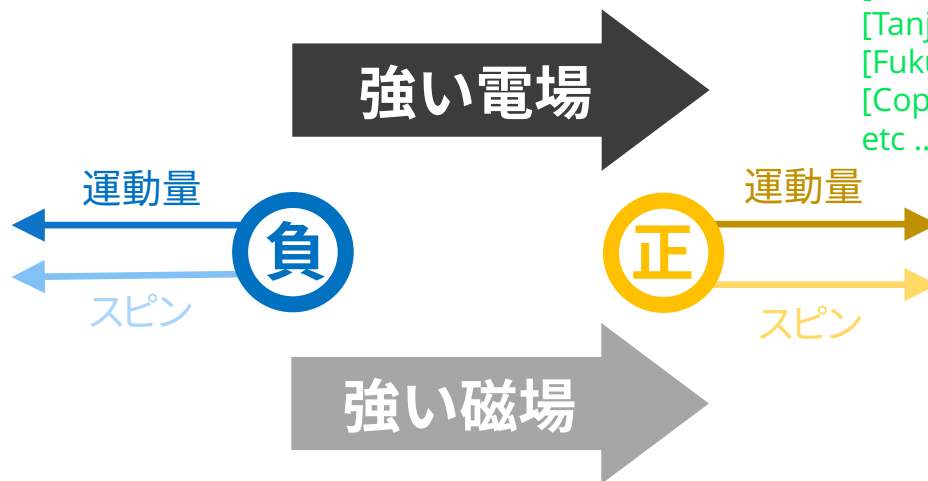
etc ...

$$\text{ヘリシティ} = +2 \times N_{\text{pair in LLL}} \sim \text{カイラリティ} = +2 \times N_{\text{pair in LLL}}$$

カイラリティ生成

✓ 平行電磁場 $E \cdot B \neq 0$ の下では、カイラリティが真空から生成

- 電場による粒子生成(Schwinger機構)と磁場によるスピン偏極(ランダウ量子化)との結果



[Nielsen, Ninomiya (1983)]

[Tanji (2010)]

[Fukushima, Kharzeev, Warringa (2010)]

[Copinger, Gukushima, Pu (2018)]

etc ...

$$\text{ヘリシティ} = +2 \times N_{\text{pair in LLL}} \sim \text{カイラリティ} = +2 \times N_{\text{pair in LLL}}$$

✓ 現象論としての応用性

- 重イオン衝突のQGP生成過程や異常輸送現象(e.g., CME)
- 物性系(e.g., 大規模レーザー実験)で実現可能
- インフレーション期でのバリオジェネシス、初期磁場生成、カイラル重力波、...

Schwinger機構

[Sauter (1932)]
[Heisenberg, Euler (1936)]
[Schwinger (1951)]

✓ 粒子生成数 N_{pair} は、電場が定常電場なら指数関数的に抑制



- 電場がバンドを曲げる \Rightarrow level crossing \Rightarrow 非摂動的なトンネル効果

Schwinger機構

[Sauter (1932)]
[Heisenberg, Euler (1936)]
[Schwinger (1951)]

✓ 粒子生成数 N_{pair} は、電場が定常電場なら指数関数的に抑制



- 電場がバンドを曲げる \Rightarrow level crossing \Rightarrow 非摂動的なトンネル効果
- トンネル確率をWKB近似でざっくり評価すると、

$$N_{\text{pair}} \sim \exp[-(\text{ギャップの距離} \times \text{ギャップの高さ})] \sim \exp\left[-\# \frac{m^2}{eE}\right]$$

- 場の理論でまじめに評価すると、 $\# = \pi$ と決まる (Schwingerの公式)

[Schwinger (1951)]

Schwinger機構

[Sauter (1932)]
[Heisenberg, Euler (1936)]
[Schwinger (1951)]

✓ 粒子生成数 N_{pair} は、電場が定常電場なら指数関数的に抑制



- 電場がバンドを曲げる \Rightarrow level crossing \Rightarrow 非摂動的なトンネル効果
- トンネル確率をWKB近似でざっくり評価すると、

$$N_{\text{pair}} \sim \exp[-(\text{ギャップの距離} \times \text{ギャップの高さ})] \sim \exp\left[-\# \frac{m^2}{eE}\right]$$

- 場の理論でまじめに評価すると、 $\# = \pi$ と決まる (Schwingerの公式)

[Schwinger (1951)]

massive粒子のカイラリティ生成は、定常電場なら指数関数的に抑制

dynamically assisted Schwinger機構

[HT, Fujimori, Misumi, Nitta, Sakai (may appear soon)]

✓ 粒子生成数 N_{pair} は、電場が時間依存すると大きく変わる

✓ 早い弱い摂動を加えると粒子生成数が増大 [Schutzhold, Gies, Dunne (2008)]



• 早い摂動のincoherent散乱 (e.g., 光電効果) \Rightarrow ギャップ長さ/高さの減少 \Rightarrow トンネル効果の促進

dynamically assisted Schwinger機構

[HT, Fujimori, Misumi, Nitta, Sakai (may appear soon)]

✓ 粒子生成数 N_{pair} は、電場が時間依存すると大きく変わる

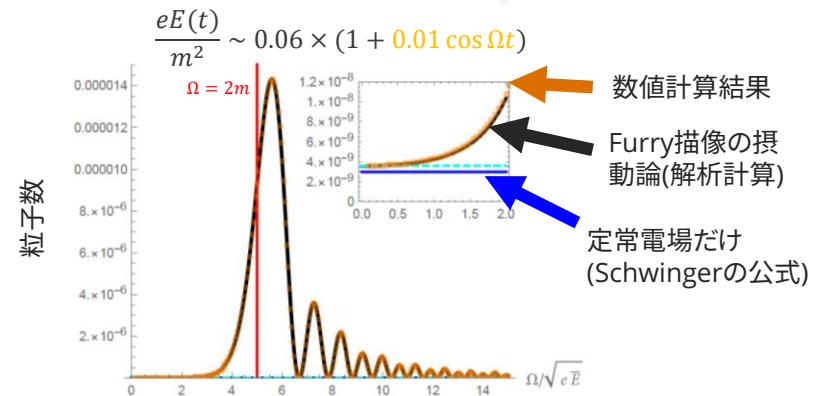
✓ 早い弱い摂動を加えると粒子生成数が増大 [Schutzhold, Gies, Dunne (2008)]



• 早い摂動のincoherent散乱 (e.g., 光電効果) ⇒ ギャップ長さ/高さの減少 ⇒ トンネル効果の促進

• 電場だけのときには、定量的によくわかっている

- Furry描像による摂動論の大きな成功 [HT (2019)]
- 高エネルギーの文脈では未観測だが、半導体物理での類似物のFranz-Keldysh効果は観測済み



dynamically assisted Schwinger機構

[HT, Fujimori, Misumi, Nitta, Sakai (may appear soon)]

✓ 粒子生成数 N_{pair} は、電場が時間依存すると大きく変わる

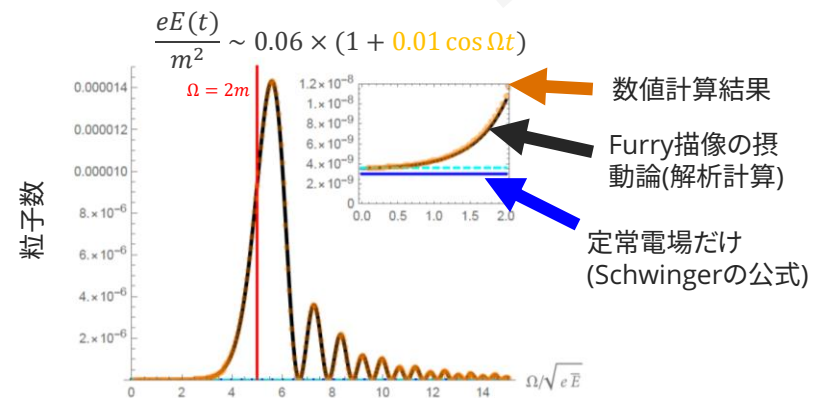
✓ 早い弱い摂動を加えると粒子生成数が増大 [Schutzhold, Gies, Dunne (2008)]



• 早い摂動のincoherent散乱 (e.g., 光電効果) \Rightarrow ギャップ長さ/高さの減少 \Rightarrow トンネル効果の促進

• 電場だけのときには、定量的によくわかっている

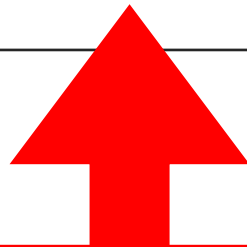
- Furry描像による摂動論の大きな成功 [HT (2019)]
- 高エネルギーの文脈では未観測だが、半導体物理での類似物のFranz-Keldysh効果は観測済み



?

生成粒子数の増大を通じ、カイラリティ生成も増大させるのでは？

目的：この予想は正しいことを示す



?

生成粒子数の増大を通じ、カイラリティ生成も増大させるのでは？

導入



理論



結果



まとめ

Furry画像の摂動論による計算

[Furry (1951)] [Fradkin, Gitman (1981)] [HI (2019)]

SETUP: 定常な強い平行電磁場 $\bar{\mathbf{E}}, \bar{\mathbf{B}}$ に摂動的な(弱く速い)電場 \mathcal{E} が乗った状況

$$E(t) = \bar{E} + \mathcal{E}(t) \quad (\text{ただし } |\bar{E}| \gg |\mathcal{E}(t)| \text{ かつ } \mathcal{E}(t = \pm\infty) \rightarrow 0)$$
$$B(t) = \bar{B}$$

STEP 1: Dirac方程式を強い定常電磁場 $\bar{\mathbf{E}}, \bar{\mathbf{B}}$ に非摂動的に、速い電場 \mathcal{E} に摂動的に解く

$$[i\partial - e\bar{\mathbf{A}} - m]\hat{\psi} = e\mathcal{A}\hat{\psi}$$

$$\Rightarrow \hat{\psi}(x) = \hat{\psi}^{(0)}(x) + \int_{-\infty}^{\infty} dy^4 S(x, y) e\mathcal{A}(y) \hat{\psi}^{(0)}(y) + O(|e\mathcal{A}|^2)$$

未摂動波動関数 $\hat{\psi}^{(0)}$ とプロパゲータ S は、 $\bar{\mathbf{E}}, \bar{\mathbf{B}}$ に非摂動的にドレスされてる

$$[i\partial - e\bar{\mathbf{A}} - m]\hat{\psi}^{(0)} = 0$$

$$[i\partial - e\bar{\mathbf{A}} - m]S(x, y) = \delta^4(x - y)$$

定常電磁場 $\bar{\mathbf{E}}, \bar{\mathbf{B}}$ については解析的にその表示が求まる

STEP 2: カイラリティ演算子のin-in期待値を計算

$$Q_5 \equiv \lim_{t \rightarrow \infty} \int dx^3 \left\langle \text{vac; in} \left| \hat{\psi} \gamma^5 \hat{\psi} \right| \text{vac; in} \right\rangle = O(1) + O(|e\mathcal{A}|^1) + O(|e\mathcal{A}|^2) + \dots$$

導入



理論



結果



まとめ

カイラリティ生成数(1/2)

✓ 解析的な公式

$$\frac{Q_5}{VT} = \frac{e\bar{E}e\bar{B}}{2\pi^2} e^{-\pi \frac{m^2}{e\bar{E}}} \times \left[1 + \frac{2\pi}{T} \left(\frac{m^2}{e\bar{E}} \right)^2 \int_0^\infty d\omega \left| \frac{\tilde{\mathcal{E}}(\omega)}{\bar{E}} {}_1\tilde{F}_1\left(1 - \frac{i m^2}{2 e\bar{E}}; 2; \frac{i \omega^2}{2 e\bar{E}}\right) \right|^2 \right]$$

カイラリティ生成数(1/2)

✓ 解析的な公式

$$\frac{Q_5}{VT} = \frac{e\bar{E}e\bar{B}}{2\pi^2} e^{-\pi\frac{m^2}{e\bar{E}}} \times \left[1 + \frac{2\pi}{T} \left(\frac{m^2}{e\bar{E}} \right)^2 \int_0^\infty d\omega \left| \frac{\tilde{\mathcal{E}}(\omega)}{\bar{E}} {}_1\tilde{F}_1\left(1 - \frac{i m^2}{2 e\bar{E}}; 2; \frac{i \omega^2}{2 e\bar{E}}\right) \right|^2 \right]$$

強い定常電磁場からの寄与

カイラリティ生成数(1/2)

✓ 解析的な公式

$$\frac{Q_5}{VT} = \frac{e\bar{E}e\bar{B}}{2\pi^2} e^{-\pi\frac{m^2}{e\bar{E}}} \times \left[1 + \frac{2\pi}{T} \left(\frac{m^2}{e\bar{E}} \right)^2 \int_0^\infty d\omega \left| \frac{\tilde{\mathcal{E}}(\omega)}{\bar{E}} {}_1\tilde{F}_1\left(1 - \frac{i m^2}{2 e\bar{E}}; 2; \frac{i \omega^2}{2 e\bar{E}}\right) \right|^2 \right]$$

強い定常電磁場からの寄与

摂動電場からの寄与

カイラリティ生成数(1/2)

✓ 解析的な公式

$$\frac{Q_5}{VT} = \frac{e\bar{E}e\bar{B}}{2\pi^2} e^{-\pi\frac{m^2}{e\bar{E}}} \times \left[1 + \frac{2\pi}{T} \left(\frac{m^2}{e\bar{E}} \right)^2 \int_0^\infty d\omega \left| \frac{\tilde{\mathcal{E}}(\omega)}{\bar{E}} {}_1\tilde{F}_1\left(1 - \frac{i m^2}{2 e\bar{E}}; 2; \frac{i \omega^2}{2 e\bar{E}}\right) \right|^2 \right]$$

強い定常電磁場からの寄与

摂動電場からの寄与

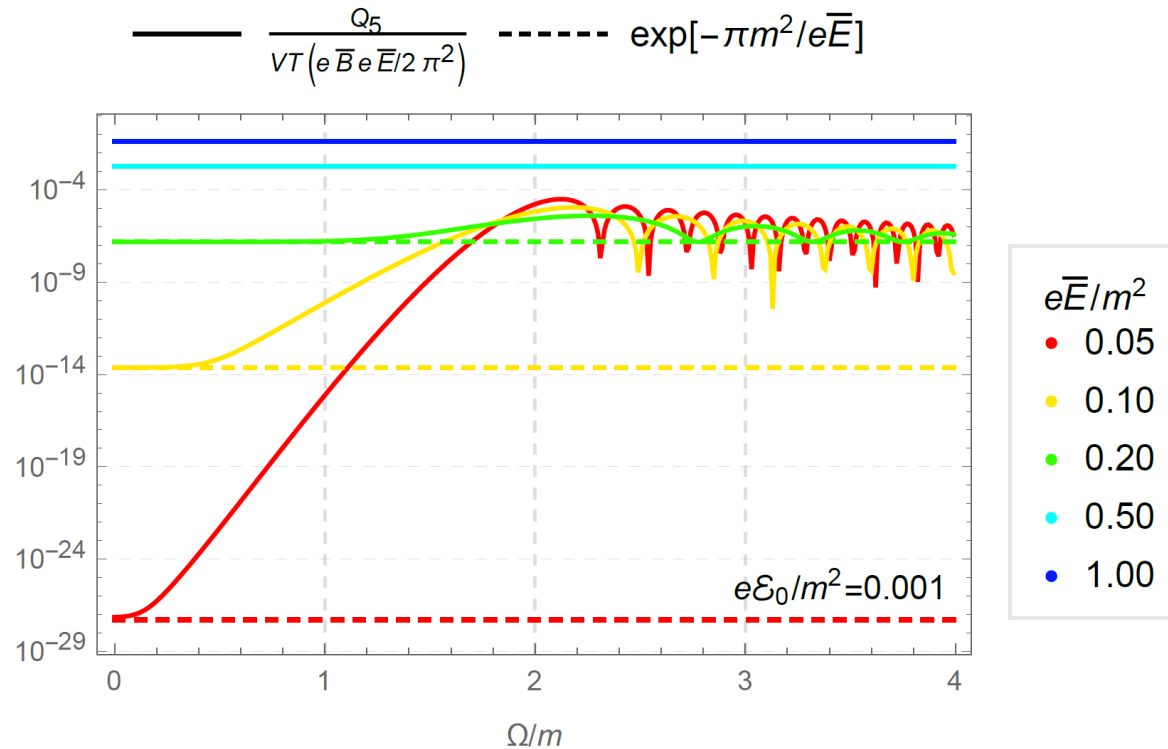
- 摂動電場 \mathcal{E} が弱い限り、任意の時間依存性について使える公式
- 摂動電場 \mathcal{E} からの寄与 > 0
 - ⇒ **必ずカイラリティ生成を増大する**
- $m \rightarrow 0$ では摂動電場 \mathcal{E} は寄与せず、masslessのときのABJ anomalyに帰着
 - ⇒ **増大効果はmassiveな粒子にだけ効く**
- $e\bar{B}$ はoverall factorとして出るだけで、増大の大きさを変えない
(\because 磁場はエネルギーを与えないので、本質的に粒子生成率に影響しない)

カイラリティ生成数(2/2)

✓ 定量的な話

$$\frac{eE(t)}{m^2} = \frac{e\bar{E}}{m^2} + 0.001 \cos \Omega t$$

$$\frac{eB(t)}{m^2} = \frac{e\bar{B}}{m^2}$$



- 摂動電場 \mathcal{E} の周波数が小さい: 増大効果は無視できる
 \Rightarrow Schwingerの公式が予想する指数関数的抑制に帰着
- 摂動電場 \mathcal{E} の周波数が大きい: 増大は大きくなる
 \Rightarrow 増大の大きさは、おおよそ摂動電場の強さの二乗で決まる

導入



理論



結果



まとめ

まとめ

[HT, Phys. Rev. Research 2, 023257 \(2020\) \[arXiv:2003.08948\]](#)

✓ 平行電磁場 $E \cdot B \neq 0$ の下では、カイラリティが真空から生成

- 電場による粒子生成(Schwinger機構)と磁場によるスピン偏極(ランダウ量子化)との結果

✓ 素朴には、massive粒子によるカイラリティ生成はほぼゼロ

- $E = \text{const.}$ ならば、Schwinger機構による粒子生成は $\exp(-\pi m^2/eE)$ で強く抑制

✓ $E = \text{const.}$ に、早い摂動 (弱くて良い。例えば(ミニ)ジェット) を加えると、 massive粒子のカイラリティ生成は大きく増大

- Furry描像の摂動論に基づく、任意に時間依存する摂動電場に対して、解析的な公式を導出
- massless/周波数が小さい (massive/周波数が大きい) とき、増大効果は重要でない (とても重要)

✓ Outlook: 現象論の議論

- 重イオン衝突の初期はグラズマ(強い)+ジェット(摂動)。CMEとかで、 s, c などの重クォークも効き得る?
- 物性系。特に、大規模レーザーでのカイラリティ生成の可能性
- インフレーション期でのバリオジェネシス、初期磁場生成、カイラル重力波、、、